

联立以上两式求解

$$\Delta l_1 = \frac{\sqrt{2}E_2 A_2 \delta}{2E_1 A_1 + \sqrt{2}E_2 A_2}, \quad \Delta l_2 = \frac{2\sqrt{2}E_1 A_1 \delta}{2E_1 A_1 + \sqrt{2}E_2 A_2}$$

值得指出, 公式 (1) 和 (2) 虽然是由桁架结构推导的, 但是可以证明, 它们对刚架和曲杆也是正确的. 当然这时我们不考虑弯曲变形效应, 而只是计算轴向力引起的长度变化.

例 2 如图 3 所示均质薄圆环, 已知轴线直径  $D$ , 横截面积  $A$ , 材料弹性模量  $E$ , 在两段长  $s$  的对称圆弧上受均布法向力  $q$ , 求圆环轴线总伸长量.

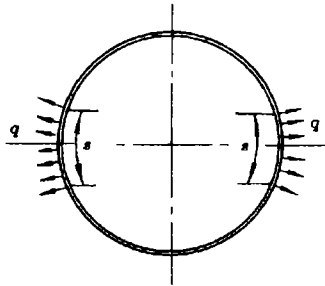


图 3

解 作用在圆环上的载荷可以看作无数对平衡的微集中力, 故根据 (1), 总伸长量为

$$\Delta l = \int_0^s \frac{q ds \cdot D}{EA} = \frac{qsD}{EA} \quad (3)$$

从上式, 还有两种有意义的特殊情况的解:

1) 沿某直径作用一对集中拉力  $P$ , 令  $s$  趋于零而保持  $q \cdot s = P$ , (3) 式成为

$$\Delta l = \frac{PD}{EA}$$

2) 整个圆环作用法向均布拉力  $q$ , 令  $s = \frac{\pi}{2}D$ , (3) 式成为

$$\Delta l = \frac{\pi q \cdot D^2}{2EA}$$

(1994 年 11 月 10 日收到第 1 稿,  
1995 年 1 月 3 日收到修改稿)

## 连续梁压杆临界载荷求解的等效法

张进国 崔淑萍

(山东莱阳农学院农业工程系 莱阳 265200)

### 1 连续梁压杆临界载荷求解的等效法

设有  $n$  跨连续梁压杆受轴向载荷  $P$  的作用, 如图 1 所示, 压杆  $i$  跨 ( $1 \leq i \leq n$ ) 的抗弯刚度为  $E_i I_i$ , 长度为  $L_i$ , 左支座标号为  $i$ , 右支座标号为  $i+1$ .

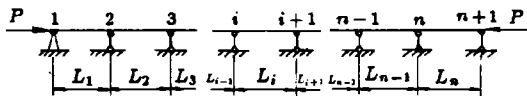


图 1

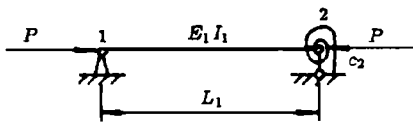


图 2

该连续梁压杆可以等效成图 2 所示的力学模型, 图中  $c_2$  为支座 2 的等效刚度系数, 它代表连续梁压杆第 2 跨到第  $n$  跨各部分对第 1 跨的刚性影响.

连续梁压杆 (图 1) 的临界载荷方程可由其等效力学模型 (图 2) 确定为

$$\frac{1}{3}s_1\psi(u_1) = -\frac{1}{c_2} \quad (1)$$

式中, 等效刚度系数  $c_2$  可由简支梁在轴向载荷和端部弯矩联合作用下变形公式确定.

$$\begin{aligned} \frac{1}{c_2} &= \frac{1}{3}s_2 \left[ \psi(u_2) - \frac{c_3 s_2 \phi^2(u_2)}{12 + 4c_3 s_2 \psi(u_2)} \right] \\ \frac{1}{c_3} &= \frac{1}{3}s_3 \left[ \psi(u_3) - \frac{c_4 s_3 \phi^2(u_3)}{12 + 4c_4 s_3 \psi(u_3)} \right] \\ &\vdots \end{aligned}$$

$$\frac{1}{c_i} = \frac{1}{3}s_i \left[ \psi(u_i) - \frac{c_{i+1}s_i\phi^2(u_i)}{12 + 4c_{i+1}s_i\psi(u_i)} \right]$$

$$\vdots$$

$$\frac{1}{c_n} = \frac{1}{3}s_n \left[ \psi(u_n) - \frac{c_{n+1}s_n\phi^2(u_n)}{12 + 4c_{n+1}s_n\psi(u_n)} \right]$$

$$c_{n+1} = 0$$

$$s_i = \frac{L_i}{E_i I_i} \quad (1 \leq i \leq n)$$

$$u_i = \frac{L_i}{2} \sqrt{\frac{P}{E_i I_i}} \quad (1 \leq i \leq n)$$

$$\psi(u_i) = \frac{3}{2u_i} \left( \frac{1}{2u_i} - \frac{1}{\operatorname{tg} 2u_i} \right) \quad (1 \leq i \leq n)$$

$$\phi(u_i) = \frac{3}{u_i} \left( \frac{1}{\sin 2u_i} - \frac{1}{2u_i} \right) \quad (1 \leq i \leq n)$$

满足式(1)P的最小正值即为图1所示连续梁压杆临界载荷。

若图1所示连续梁压杆右端(支座n+1)为固定端支座,则计算等效刚度系数时取 $\frac{1}{c_{n+1}} = 0$ ,仍可按(1)式计算临界载荷。

若图1所示连续梁压杆左端(支座1)为固定端支座,此时仍可等效成图2所示力学模型,所不同的是此处简支梁刚度为 $E_0 I_0$ ,且为无穷大,等效刚度系数 $c_2$ 改为 $c_1$ ,为连续梁各跨对左端想象跨的刚度影响等效系数,压杆临界载荷方程则写为

$$\frac{1}{c_1} = 0 \quad (2)$$

式中

$$\frac{1}{c_1} = \frac{1}{3}s_1 \left[ \psi(u_1) - \frac{c_2 s_1 \phi^2(u_1)}{12 + 4c_2 s_1 \psi(u_1)} \right]$$

## 2 算例

图3所示为3种端部约束不同的连续梁压杆,其抗弯刚度 $E_1 I_1 = E_2 I_2 = EI$ ,跨长 $L_1 = 2L_2$ ,现用等效法计算其临界载荷。

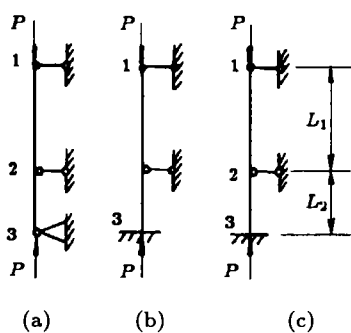


图3

对图3(a)连续梁压杆,支座3和支座1均铰支,有 $c_3 = 0$ ,将 $\frac{1}{c_2}$ 写出并代入(1)式得临界载荷方程为

$$s_1 \psi(u_1) + s_2 \psi(u_2) = 0$$

因 $E_1 I_1 = E_2 I_2, L_1 = 2L_2$ ,令 $u_2 = u$ ,有 $s_1 = 2s_2, u_1 = 2u_2 = 2u$ ,将其代入临界载荷方程得

$$2\psi(2u) + \psi(u) = 0$$

从文献[3]表A-1,我们得到 $2u = 1.93$ ,即 $2u_2 = 1.93, 2u_1 = 3.86$ 临界载荷为

$$P_{cr} = \frac{3.72EI}{L_2^2} = \frac{14.9EI}{L_1^2}$$

对图3(b)连续梁压杆,支座3为固定端,且支座1铰支,有 $\frac{1}{c_3} = 0$ ,将 $\frac{1}{c_2}$ 写出并代入(1)式得临界载荷方程为

$$4s_1 s_2 \psi(u_1) \psi(u_2) + 4s_2^2 \psi^2(u_2) - s_2^2 \phi^2(u_2) = 0$$

将 $s_1 = 2s_2, u_1 = 2u_2 = 2u$ 代入上式得

$$8\psi(2u)\psi(u) + 4\psi^2(u) - \phi^2(u) = 0$$

从文献[3]表A-1,我们得到 $2u = 2.01$ ,即 $2u_2 = 2.01, 2u_1 = 4.02$ ,临界载荷为

$$P_{cr} = \frac{4.04EI}{L_2^2} = \frac{16.16EI}{L_1^2}$$

对图3(c)连续梁压杆,支座3和支座1均为固定端,有 $\frac{1}{c_3} = 0$ ,将 $\frac{1}{c_1}$ 写出代入式(2)得临界载荷方程为

$$4s_1 s_2^2 \psi(u_1) \psi^2(u_2) + 4s_1^2 s_2 \psi^2(u_1) \psi(u_2) - s_1 s_2^2 \psi(u_1) \phi^2(u_2) - s_1^2 s_2 \phi^2(u_1) \psi(u_2) = 0$$

将 $s_1 = 2s_2, u_1 = 2u_2 = 2u$ 代入得

$$4\psi(2u)\psi^2(u) + 8\psi^2(2u)\psi(u) - \psi(2u)\phi^2(u) - 2\phi^2(2u)\psi(u) = 0$$

由文献[3]表A-1,我们得到 $2u = 2.75$ ,即 $2u_2 = 2.75, 2u_1 = 5.5$ ,临界载荷为

$$P_{cr} = \frac{7.56EI}{L_2^2} = \frac{30.25EI}{L_1^2}$$

## 3 结语

从以上分析及算例看出, 本文提出的连续梁压杆临界载荷求解的等效法, 其物理意义清楚, 宜于编程机算或借助数表手算, 计算量小, 便于工程应用, 是一种连续梁压杆临界载荷求解的新方法.

### 参 考 文 献

1 刘鸿文编. 材料力学(下). 第三版, 北京: 高等教育出

版社, 1992

2 刘鸿文编. 高等材料力学. 北京: 高等教育出版社, 1985

3 铁摩辛柯 S P, 盖莱 J M 著. 张福范译. 弹性稳定理论(第二版). 北京: 科学出版社, 1965

(1994年4月5日收到第1稿,  
1994年7月3日收到修改稿)

## 谈细长压杆稳定性问题

薛 福 林

(哈尔滨工业大学, 哈尔滨 150006)

为什么在材料力学中细长压杆临界挠度是“不确定值”, 为什么用挠曲线近似微分方程能得到临界力的精确解答, 笔者愿谈谈自己的看法.

不失一般性, 本文以图1的压杆为例.

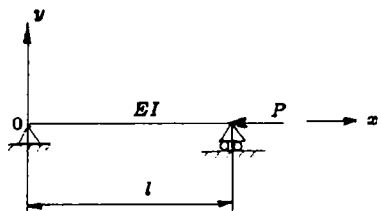


图 1

首先我们应该明确什么是压杆的临界状态. 临界状态应理解为“出现两种可能的平衡状态, 即直线状态和无限接近于直线的弯曲状态”<sup>[1]</sup>.

因此, 在临界状态, 压杆最大挠度  $A$  应满足条件

$$\left. \begin{aligned} A = 0 \\ \text{或} \quad A \rightarrow 0 \end{aligned} \right\} \quad (1)$$

也就是说在临界状态, 压杆挠度是无穷小量.

因此必然  $y'$  是无穷小量. 这样我们有等价关系

$$1 + y'^2 \sim 1$$

而压杆临界状态的挠曲线微分方程

$$\frac{y''}{(1 + y'^2)^{3/2}} + \frac{P_{cr}y}{EI} = 0 \quad (2)$$

等价于

$$y'' + \frac{P_{cr}y}{EI} = 0 \quad (3)$$

从这个意义上讲, 在临界状态, 式(3)是挠曲线的精确微分方程, 而不是近似的.

既然  $A$  是无穷小量, 必然任何想确定出非零的常数  $A$  都是违背物理意义的, 也必定是错误的.

有的学者认为保留方程(2)的非线性性质就能确定临界挠度  $A$ <sup>[2,3]</sup>. 笔者认为这种观点是错误的.

我们可以定性地来分析一下. 如果我们采用式(2), 这时挠曲线微分方程是非线性的. 但由于式(2)是二阶常微分方程, 其通解必有两个任意常数<sup>[5]</sup>, 设为  $C$  和  $D$ , 现在我们就有  $C, D$  和  $P_{cr}$  这3个未知量需要确定, 而边界条件只有2个

$$y|_{x=0} = 0 \quad (4)$$

$$y|_{x=l} = 0 \quad (5)$$

从数学角度讲, 用2个独立条件是无法确定3个未知量的, 因此至少有1个未知量不能确定, 这样挠度方程就不能确定, 最大挠度  $A$  自然也就无法确定.

文[3]之所以在对挠曲线微分方程非线性一级近似后确定出一个挠度值来(当然这个挠度值是错误的), 是由于作者得到的式(2)只有一个任意常数  $B$ , 它不是该文式(1)的通解, 从而不合理地减少了一个未知量.

任何对挠曲线微分方程的非线性近似都不应该改变方程的阶数, 因此其通解就必然有两个任意